

Techniques d'intelligence artificielle pour les équations différentielles autonomes



Soutenance de Stage - Lundi 28 Juin 2021

Maxime BOUCHEREAU

Stage encadré par Philippe CHARTIER, Mohammed LEMOU et Florian MEHATS
Université Rennes 1

- Introduction et outils
 - Position du problème
 - Réseau de neurones
 - Résolution Numérique du problème
 - Algorithme du gradient stochastique
- Cas linéaire: Première formulation
 - Position du problème
 - Méthode d'Euler Explicite
 - Méthode d'Euler Implicite
 - Méthode du Point Milieu
 - Méthode de Runge-Kutta 2
 - Simulations numériques
- Cas linéaire: Nouvelle formulation
 - Position du problème
 - Convexité des fonctions Loss
 - Méthodes à deux points
 - Méthodes multi-pas à pas constant
 - Méthodes multi-pas à pas non constant
 - Généralisation
- Cas non-linéaire
 - Position du problème
 - Structure du réseau de neurones
 - Ordre de convergence
 - Simulations numériques

Partie 1 : Introduction et outils

Soient $f : \mathbb{R}^d \rightarrow \mathbb{R}^d$ un champ de vecteurs continu et localement lipschitzien.
Soient $h > 0$, $N \in \mathbb{N}^*$ et $0 = t_0 < t_1 < \dots < t_N = h$.

- **Problème de Cauchy considéré:**

$$\begin{cases} \dot{y} = f(y) \\ y(0) = y_0 \end{cases}$$

- **Données:** pour tout $j \in \llbracket 0, N \rrbracket$, $y_{\frac{t_j}{h}} = \phi_{t_j}(y_0)$
- **Objectif:** retrouver le champ de vecteurs f à partir des données y_j de la solution à différents temps.
- **Plusieurs trajectoires étudiées:**
 - K données initiales.
 - Pour tous $k \in \llbracket 0, K - 1 \rrbracket$, $j \in \llbracket 1, N \rrbracket$, $y_{\frac{t_j}{h}}^{(k)} = \phi_{t_j}(y_0^{(k)})$

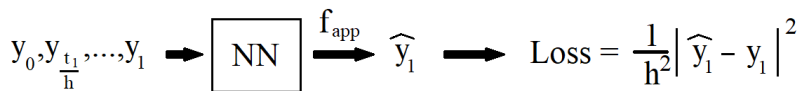


Figure: Illustration de la technique d'IA

- f_{app} s'écrit à l'aide des paramètres du réseau de neurones
- \hat{y}_1 : valeur prédite de y_1 par un certain schéma numérique, en faisant intervenir $y_0, y_{\frac{t_1}{h}}, \dots, y_1$ et f_{app}
- **Objectif:** Minimiser la fonction $Loss$

Objectif: Minimiser la fonction *Loss*

- **1^{re} étape - Entraînement (ou Apprentissage):** Minimiser la fonction

$$Loss_{Training} = \frac{1}{K_0} \sum_{k=0}^{K_0-1} \frac{1}{h^2} \left| \hat{y}_1^{(k)} - y_1^{(k)} \right|^2$$

- **2^{me} étape - Test:** Tester la fonction

$$Loss_{Test} = \frac{1}{K - K_0} \sum_{k=K_0}^{K-1} \frac{1}{h^2} \left| \hat{y}_1^{(k)} - y_1^{(k)} \right|^2$$

$$K_0 = \lfloor pK \rfloor, p \in]0, 1[$$

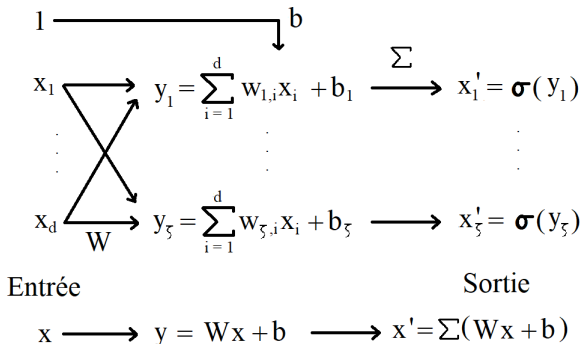


Figure: Illustration du fonctionnement de la couche de ζ neurones

- **Paramètres:** Matrice poids $W \in \mathcal{M}_{\zeta, d}(\mathbb{R})$, biais 1 de poids $b \in \mathbb{R}^\zeta$, fonction d'activation $\sigma : \mathbb{R} \rightarrow \mathbb{R}$
- $x \in \mathbb{R}^d$, $y, x' \in \mathbb{R}^\zeta$

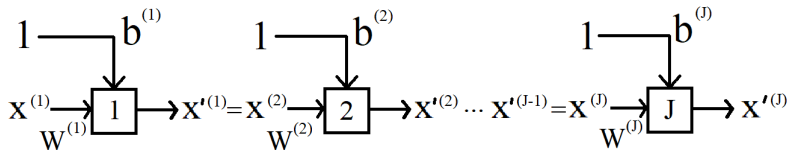


Figure: Illustration du fonctionnement d'un PMC comportant J couches de neurones, l'entrée, la sortie et le poids du biais associés à la couche j sont respectivement notés $x^{(j)}$, $x'^{(j)}$ et $b^{(j)}$

- **PMC:** succession de couches dans lesquelles la sortie de la j -ème couche correspond à l'entrée de la $(j + 1)$ -ème couche
- Approximation du champ de vecteurs f en f_{app} via: $x'^{(J)} = f_{app}(x^{(1)})$.
- Fonction Loss qui dépend des paramètres $W^{(1)}, \dots, W^{(J)}, b^{(1)}, \dots, b^{(J)}$. **Objectif:** optimiser en ces paramètres.

- **Choix du pas de la méthode numérique** $h > 0$
- **Création des données:**
 - Choix au hasard de K données initiales $y_0^{(k)}$ pour $k \in \llbracket 0, K - 1 \rrbracket$
 - Calcul de $\phi_{t_j}(y_0^{(k)})$ pour $k \in \llbracket 0, K - 1 \rrbracket, j \in \llbracket 1, N \rrbracket$
- **Création des données prédites:** Calcul de $y_1^{(\hat{k})}$ pour $k \in \llbracket 0, K - 1 \rrbracket$ à partir de $y_0^{(k)}, y_{\frac{t_1}{h}}^{(k)}, \dots, y_1^{(k)}$ et f_{app}
- **Introduction des fonctions *Loss*:**

$$L(W, k) = \frac{1}{h^2} \left| y_1^{(\hat{k})} - y_1^{(k)} \right|^2$$

W : Paramètres du réseau de neurones

- **Calcul des différentielles** des fonctions *Loss* en les paramètres par différence finie centrée.

- **Choix d'une proportion de données pour l'entraînement** $p \in]0, 1[$ et calcul de $K_0 = \lfloor pK \rfloor$.
- **Introduction des fonctions:**

$$Loss_{Training}(W) = \frac{1}{K_0} \sum_{k=0}^{K_0-1} L(W, k)$$

$$Loss_{Test}(W) = \frac{1}{K - K_0} \sum_{k=K_0}^{K-1} L(W, k)$$

- **Choix d'un nombre d'itérations** N_{iter}
- **Minimisation** de la fonction $Loss_{Training}$ via un algorithme d'optimisation, que l'on arrête au bout de N_{iter} itérations.
- **Test** de la fonction $Loss_{Test}$ (on s'assure qu'elle décroît comme $Loss_{Training}$)
- **Comparaison:** Mesure de l'écart entre f et f_{app}

- **Choix des paramètres** $\alpha > 0$ (Taux d'apprentissage) et N_{iter} (Nombre d'itérations de l'algorithme)
- **Choix au hasard** de $(W)_0$, paramètres du réseau de neurones initiaux.
- Pour $t \in \llbracket 0, N_{iter} - 1 \rrbracket$:
 - $i_t \sim \mathcal{U}(\llbracket 0, K_0 - 1 \rrbracket)$
 - $(W)_{t+1} = (W)_t - \alpha \cdot nablaL((W)_t, i_t)$

$nablaL(\cdot, k)$: Approximation de la différentielle de $L(\cdot, k)$ en les paramètres W par différence finie centrée.

Convergence: l'algorithme converge lorsque la fonction *Loss* est (strictement) convexe vers un minimum (global)

Partie 2 : Cas linéaire: Première formulation

Soient $A \in \mathcal{M}_d(\mathbb{R})$ et $h > 0$.

- **Problème de Cauchy considéré:**

$$\begin{cases} \dot{y} = Ay \\ y(0) = y_0 \end{cases}$$

- **Données:** $y_1 = e^{hA}y_0$.
- **Objectif:** retrouver la matrice A à partir des données y_0 et y_1 de la solution aux temps 0 et h .
- **Plusieurs trajectoires étudiées:**
 - K données initiales.
 - Pour tout $k \in \llbracket 0, K - 1 \rrbracket$, $y_1^{(k)} = e^{hA}y_0^{(k)}$

- **Structure du réseau de neurones:** Une couche de d neurones, fonction d'activation: $\sigma = Id_{\mathbb{R}}$
- **Paramètres:** Une matrice poids $W \in \mathcal{M}_d(\mathbb{R})$ donnant ainsi, pour tout $k \in \llbracket 0, K - 1 \rrbracket$, $\hat{y}_1^{(k)} = A_h y_0^{(k)}$ (A_h est la matrice d'itération propre au schéma numérique, dépend de W . $f_{app}(y_0) = W y_0$)

- **Forme de la fonction *Loss*:**

$$L(W, k) = \frac{1}{h^2} \left| (A_h - e^{hA}) y_0^{(k)} \right|^2$$

- **Minimiseur:** Matrice $W_{Min} \in \mathcal{M}_d(\mathbb{R})$ telle que $A_h = e^{hA}$, sous réserve d'avoir au moins d données linéairement indépendantes.

Matrice d'itération: $A_h = I_d + hW$

Proposition (Fonction *Loss* - Méthode d'Euler Explicite)

Soit $k \in \llbracket 0, K - 1 \rrbracket$. La fonction

$$L(\cdot, k) : W \mapsto \frac{1}{h^2} \left| \left(I_d + hW - e^{hA} \right) y_0^{(k)} \right|^2$$

est convexe sur $\mathcal{M}_d(\mathbb{R})$ et est presque partout strictement convexe sur $\mathcal{M}_d(\mathbb{R})$.

Preuve (idée):

- **Convexité:** Utilisation de la différentielle via la relation:

$$L(W_1, k) + dL(W_1, k) \cdot (W_2 - W_1) \leq L(W_2, k)$$

- **Convexité stricte:** Utilisation du fait que, pour presque tous $W \in \mathcal{M}_d(\mathbb{R})$, $y_0 \in \mathbb{R}^d$, $|Wy_0| > 0$.



Proposition (Méthode d'Euler Explicite - Ordre de convergence)

L'apprentissage pour la méthode d'Euler Explicite est d'ordre 1:

$$W_{Min} \underset{h \rightarrow 0}{=} A + \mathcal{O}(h)$$

Preuve (idée):

- **Minimiseur:**

$$W_{Min} = \frac{e^{hA} - I_d}{h}$$

- **Ordre de convergence:** Développement limité en $h \rightarrow 0$.



- **Matrice d'itération:** $A_h = (I_d - hW)^{-1}$
- **Fonction *Loss*:**

$$L(W, k) = \frac{1}{h^2} \left| \left((I_d - hW)^{-1} - e^{hA} \right) y_0^{(k)} \right|^2$$

Proposition (Fonction *Loss* - Méthode d'Euler Implicite en dimension 1)

Soit $R > 0$. Soient $k \in \llbracket 0, K - 1 \rrbracket$ et $y_0^{(k)} \neq 0$. La fonction

$$L(\cdot, k) : W \mapsto \frac{1}{h^2} \left(\frac{1}{1 - hW} - e^{hA} \right)^2 y_0^{(k)2}$$

est strictement convexe sur $[-R, R]$ dès que h est assez petit.

Preuve (idée):

Stricte convexité: Stricte positivité de la dérivée seconde



Proposition (Méthode d'Euler Implicite - Ordre de convergence)

L'apprentissage pour la méthode d'Euler Implicite est d'ordre 1:

$$W_{Min} \underset{h \rightarrow 0}{=} A + \mathcal{O}(h)$$

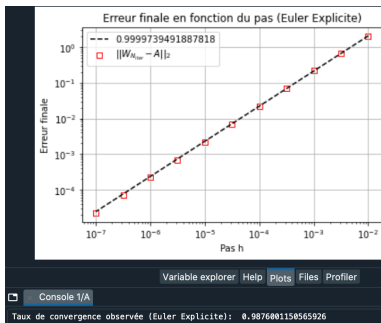
Preuve (idée):

- **Minimiseur:**

$$W_{Min} = \frac{I_d - e^{-hA}}{h}$$

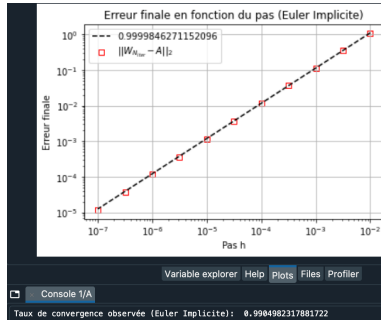
- **Ordre de convergence:** Développement limité en $h \rightarrow 0$.





(a) Méthode d'Euler Explicite:

$$\hat{y}_1 = (I_d + hW)y_0$$



(b) Méthode d'Euler Implicite:

$$\hat{y}_1 = (I_d - hW)^{-1}y_0$$

- **Matrice d'itération:**

$$A_h = \left(I_d - \frac{h}{2} W \right)^{-1} \left(I_d + \frac{h}{2} W \right)$$

- **Fonction *Loss*:**

$$L(W, k) = \frac{1}{h^2} \left| \left(\left(I_d - \frac{h}{2} W \right)^{-1} \left(I_d + \frac{h}{2} W \right) - e^{hA} \right) y_0^{(k)} \right|^2$$

Proposition (Fonction *Loss* - Méthode du Point Milieu en dimension 1)

Soit $R > 0$. Soient $k \in \llbracket 0, K-1 \rrbracket$ et $y_0^{(k)} \neq 0$. La fonction

$$L(\cdot, k) : W \mapsto \frac{1}{h^2} \left(\frac{1 + \frac{h}{2} W}{1 - \frac{h}{2} W} - e^{hA} \right)^2 y_0^{(k)^2}$$

est strictement convexe sur $[-R, R]$ dès que h est assez petit.

Preuve (idée):

Stricte convexité: Stricte positivité de la dérivée seconde

Proposition (Méthode du Point Milieu - Ordre de convergence)

L'apprentissage pour la méthode du Point Milieu est d'ordre 2:

$$W_{Min} \underset{h \rightarrow 0}{=} A + \mathcal{O}(h^2)$$

Preuve (idée):

- **Minimiseur:**

$$\left(I_d - \frac{h}{2} W_{Min} \right)^{-1} \left(I_d + \frac{h}{2} W_{Min} \right) = e^{hA}$$

- **Ordre de convergence:** Développement limité en $h \rightarrow 0$ afin de montrer que $A \underset{h \rightarrow 0}{=} W_{Min} + \mathcal{O}(h^2)$ en utilisant le logarithme matriciel



Méthode de Runge-Kutta 2

Fonction *Loss*

- **Matrice d'itération:** $A_h = I_d + hW + \frac{h^2}{2} W^2$
- **Fonction *Loss*:**

$$L(W, k) = \frac{1}{h^2} \left| \left(I_d + hW + \frac{h^2}{2} W^2 - e^{hA} \right) y_0^{(k)} \right|^2$$

Proposition (Fonction *Loss* - Méthode de Runge-Kutta 2 en dimension 1)

Soit $R > 0$. Soient $k \in \llbracket 0, K-1 \rrbracket$ et $y_0^{(k)} \neq 0$. Si on a:

$$h < \min \left\{ \frac{1}{R} \left(1 - \frac{1}{\sqrt{2}} \right), \frac{1}{|A|} \log \left(\frac{5}{4} \right) \right\}$$

alors la fonction:

$$L(\cdot, k) : W \mapsto \frac{1}{h^2} \left(1 + hW + \frac{h^2}{2} W^2 - e^{hA} \right)^2 y_0^{(k)2}$$

est strictement convexe sur $[-R, +\infty[$.

Preuve (idée):

Stricte convexité: Stricte positivité de la dérivée seconde

Proposition (Fonction *Loss* - Méthode de Runge-Kutta 2 en dimension supérieure)

Soit $R > 0$. Soient $k \in \llbracket 0, K - 1 \rrbracket$ et $y_0^{(k)} \neq 0$. La fonction

$$L(\cdot, k) : W \mapsto \frac{1}{h^2} \left| I_d + hW + \frac{h^2}{2} W^2 - e^{hA} \right|^2 y_0^{(k)^2}$$

est convexe sur $\mathbb{B}_{\|\cdot\|}(0, R)$ où $\|\cdot\|$ est une norme matricielle quelconque.

Preuve (idée):

Convexité: Faire un développement limité en $h \rightarrow 0$ pour montrer que la fonction *Loss* ressemble à une forme quadratique en $W \rightarrow 0_d$:

$$L(W, k) \underset{h \rightarrow 0}{=} \frac{1}{h^2} \left| (W - A)y_0^{(k)} \right|^2 + \mathcal{O}(h)$$



Proposition (Méthode de Runge-Kutta 2 - Ordre de convergence)

L'apprentissage pour la méthode de Runge-Kutta 2 est d'ordre 2:

$$W_{Min} \underset{h \rightarrow 0}{=} A + \mathcal{O}(h^2)$$

Preuve (idée):

- **Minimiseur:**

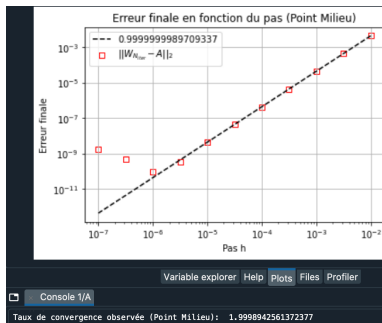
$$I_d + hW_{Min} + \frac{h^2}{2} W_{Min}^2 = e^{hA}$$

- **Ordre de convergence:** Développement limité en $h \rightarrow 0$ afin de montrer que $A \underset{h \rightarrow 0}{=} W_{Min} + \mathcal{O}(h^2)$ en utilisant le logarithme matriciel



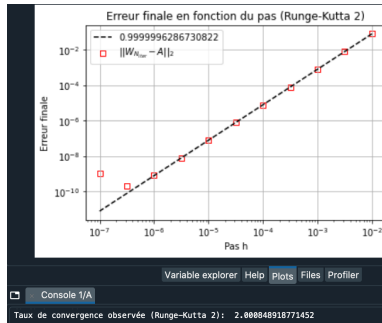
Méthodes du Point Milieu et de Runge-Kutta 2

Ordre de convergence



(a) Méthode du Point Milieu:

$$\hat{y}_1 = \left(I_d - \frac{h}{2} W\right)^{-1} \left(I_d + \frac{h}{2} W\right) y_0$$



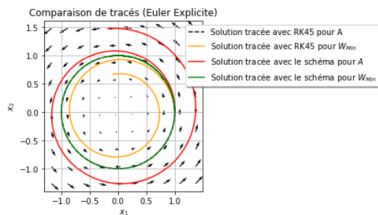
(b) Méthode de Runge-Kutta 2:

$$\hat{y}_1 = \left(I_d + hW + \frac{h^2}{2} W^2\right) y_0$$

- **Système différentiel:**

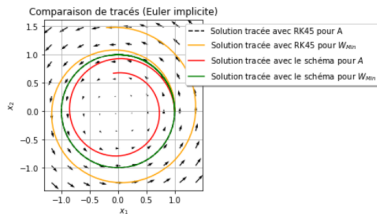
$$\begin{bmatrix} \dot{x}_1 \\ \dot{x}_2 \end{bmatrix} = \begin{bmatrix} 0 & -1 \\ 1 & 0 \end{bmatrix} \begin{bmatrix} x_1 \\ x_2 \end{bmatrix}$$

- **Pas de la méthode numérique: $h = 0.1$**



- (a) **Méthode d'Euler Explicite:**

$$\hat{y}_1 = (I_d + hW)y_0$$



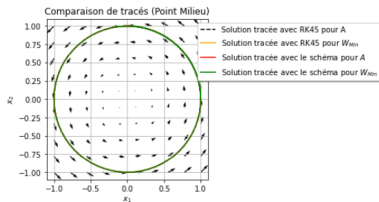
- (b) **Méthode d'Euler Implicite:**

$$\hat{y}_1 = (I_d - hW)^{-1}y_0$$

- **Système différentiel:**

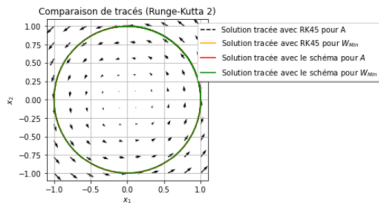
$$\begin{bmatrix} \dot{x}_1 \\ \dot{x}_2 \end{bmatrix} = \begin{bmatrix} 0 & -1 \\ 1 & 0 \end{bmatrix} \begin{bmatrix} x_1 \\ x_2 \end{bmatrix}$$

- **Pas de la méthode numérique: $h = 0.1$**



- (a) **Méthode du Point Milieu:**

$$\hat{y}_1 = \left(I_d - \frac{h}{2} W\right)^{-1} \left(I_d + \frac{h}{2} W\right) y_0$$



- (b) **Méthode de Runge-Kutta 2:**

$$\hat{y}_1 = \left(I_d + hW + \frac{h^2}{2} W^2\right) y_0$$

Partie 3 : Cas linéaire: Nouvelle formulation et méthodes supplémentaires

Soient $A \in \mathcal{M}_d(\mathbb{R})$, $h > 0$ et $0 = t_0 < t_1 < \dots < t_N = h$

- **Problème de Cauchy considéré:**

$$\begin{cases} \dot{y} = Ay \\ y(0) = y_0 \end{cases}$$

- **Données:** pour tout $j \in \llbracket 0, N \rrbracket$, $y_{\frac{t_j}{h}} = e^{t_j A} y_0$.
- **Objectif:** retrouver la matrice A à partir des données $y_{\frac{t_j}{h}}$ de la solution aux temps t_j .
- **Plusieurs trajectoires étudiées:**
 - K données initiales.
 - Pour tous $k \in \llbracket 0, K - 1 \rrbracket$, $j \in \llbracket 1, N \rrbracket$, $y_{\frac{t_j}{h}}^{(k)} = e^{t_j A} y_0^{(k)}$
- **Structure du réseau de neurones:** Une couche de d neurones, fonction d'activation: $\sigma = Id_{\mathbb{R}}$

- **Paramètres:** Une matrice poids $W \in \mathcal{M}_d(\mathbb{R})$ donnant ainsi, pour tout $k \in \llbracket 0, K - 1 \rrbracket$, $y_1^{(\hat{k})}$ sous cette forme:

$$y_1^{(\hat{k})} = \sum_{j=0}^N \alpha_j y_{\frac{t_j}{h}}^{(k)} + W \sum_{j=0}^N \beta_j h_j y_{\frac{t_j}{h}}^{(k)}$$

- **Forme de la fonction *Loss*:**

$$L(W, k) = \frac{1}{h^2} \left| \sum_{j=0}^N \alpha_j y_{\frac{t_j}{h}}^{(k)} - y_1^{(k)} + W \sum_{j=0}^N \beta_j h_j y_{\frac{t_j}{h}}^{(k)} \right|^2$$

- **Minimiseur:** Matrice $W_{Min} \in \mathcal{M}_d(\mathbb{R})$ telle que $A_h = e^{hA}$, sous réserve d'avoir au moins d données linéairement indépendantes.

- **Forme des fonctions *Loss*:**

$$\begin{aligned}L(W, k) &= \frac{1}{h^2} \left| u^{(k)} + Wv^{(k)} \right|^2 \\ &= \frac{1}{h^2} \left| By_0^{(k)} + WCy_0^{(k)} \right|^2\end{aligned}$$

- **Minimiseur:** Matrice $W_{min} = -BC^{-1}$, sous réserve d'avoir **au moins d données linéairement indépendantes**.

Proposition (Fonction *Loss* - Forme quadratique en W)

Soit $k \in \llbracket 0, K - 1 \rrbracket$. La fonction

$$L(\cdot, k) : W \mapsto \frac{1}{h^2} \left| u^{(k)} + Wv^{(k)} \right|^2$$

est convexe sur $\mathcal{M}_d(\mathbb{R})$ et est presque partout strictement convexe sur $\mathcal{M}_d(\mathbb{R})$.

Preuve:

Comme pour Euler Explicite



- **Données:** Seulement y_0 et y_1 .
- **Trois méthodes:**
 - **Méthode d'Euler Explicite:** $\hat{y}_1 = (I_d + hW) y_0$
 - **Méthode d'Euler Implicite:** $\hat{y}_1 = y_0 + hW y_1$
 - **Méthode du Point Milieu:** $\hat{y}_1 = y_0 + \frac{h}{2} W(y_0 + y_1)$

Proposition (Méthodes d'Euler et du Point Milieu - Ordres de convergence)

- *L'apprentissage pour les méthodes d'Euler Explicite et Implicite sont d'ordre 1:*

$$W_{Min} \underset{h \rightarrow 0}{=} A + \mathcal{O}(h)$$

- *L'apprentissage pour la méthode du Point Milieu est d'ordre 2:*

$$W_{Min} \underset{h \rightarrow 0}{=} A + \mathcal{O}(h^2)$$

Preuve (idée):

- **Méthodes d'Euler:** Mêmes minimiseurs qu'en partie 1, puis développement limité en $h \rightarrow 0$.
- **Méthode du Point Milieu:** Forme du minimiseur:

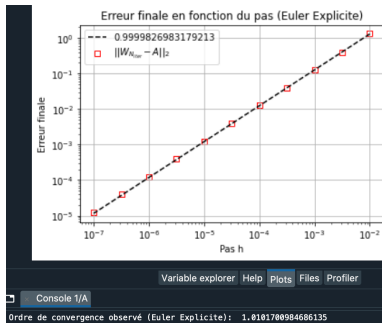
$$W_{Min} = \frac{2}{h}(I_d + e^{hA})^{-1}(e^{hA} - I_d)$$

puis développement limité en $h \rightarrow 0$.



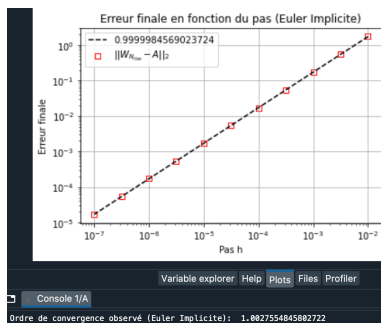
Méthodes à deux points

Méthodes d'Euler - Ordre de convergence



(a) Méthode d'Euler Explicite:

$$\hat{y}_1 = (I_d + hW)y_0$$

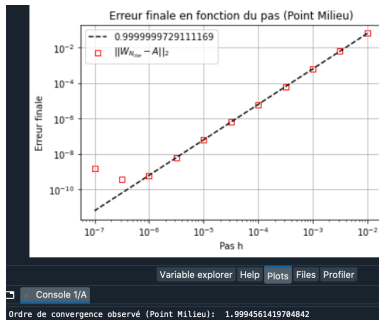


(b) Méthode d'Euler Implicite:

$$\hat{y}_1 = y_0 + hWy_1$$

Méthodes à deux points

Méthode du Point Milieu - Ordre de convergence



(a) Méthode du Point Milieu:

$$\hat{y}_1 = y_0 + \frac{h}{2} W(y_0 + y_1)$$

- **Données:** Solutions $y_{\frac{j}{N}} = e^{t_j A} y_0$ en les temps $t_j = \frac{jh}{N}$, $j \in \llbracket 0, N-1 \rrbracket$
- **Méthode:**

$$\hat{y}_1 = \sum_{i=0}^{N-1} \alpha_i y_{1-\frac{i+1}{N}} + \frac{h}{N} W \sum_{i=0}^{N-1} \beta_i y_{1-\frac{i+1}{N}}$$

Proposition (Méthode Multi-pas à pas constant - Ordre de convergence)

Si on a:



$$\sum_{i=0}^{N-1} \alpha_i = 1$$

• Pour tout $q \in \llbracket 1, p \rrbracket$:

$$\sum_{i=0}^{N-1} i^q \alpha_i - q i^{q-1} \beta_i = (-1)^q$$

Alors:

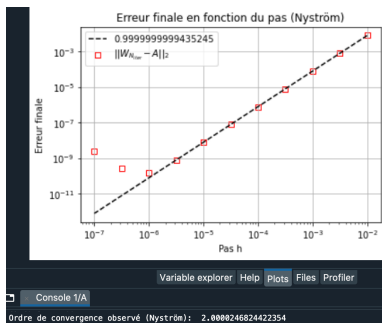
$$W_{Min} \underset{h \rightarrow 0}{=} A + \mathcal{O}(h^p)$$

Preuve (idée): Utiliser le développement limité de l'exponentielle de matrice, puis les conditions en hypothèses.



Méthodes multi-pas à pas constant

Exemples

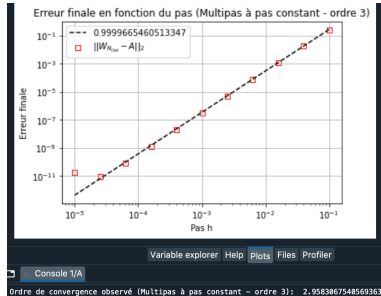


(a) Méthode de Nyström:

$$N = 2$$

$$(\alpha_0, \alpha_1, \beta_0, \beta_1) = (0, 1, 2, 0)$$

$$\hat{y}_1 = y_0 + \frac{h}{2} W(2y_{\frac{1}{2}})$$



(b) Méthode d'ordre 3: $N = 2$

$$(\alpha_0, \alpha_1, \beta_0, \beta_1) =$$

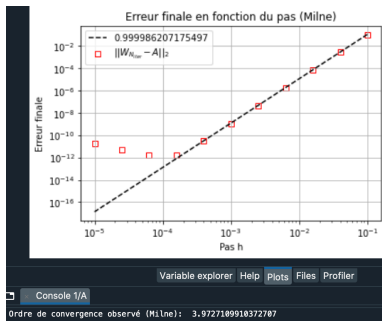
$$(-4, 5, 4, 2)$$

$$\hat{y}_1 =$$

$$-4y_{\frac{1}{2}} + 5y_0 + \frac{h}{2} W(4y_{\frac{1}{2}} + 2y_0)$$

Méthodes multi-pas à pas constant

Exemples



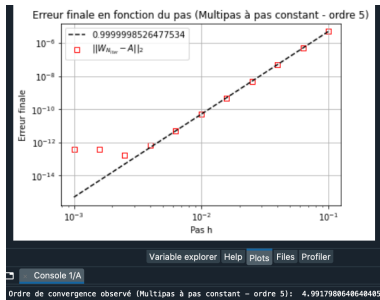
(a) Méthode de Milne: $N = 4$

$$(\alpha_0, \alpha_1, \alpha_2, \alpha_3, \beta_0, \beta_1, \beta_2, \beta_3) =$$

$$(0, 0, 0, 1, \frac{8}{3}, -\frac{4}{3}, \frac{8}{3}, 0)$$

$$\hat{y}_1 = y_0 +$$

$$\frac{h}{4} W \left(\frac{8}{3} y_{\frac{3}{4}} - \frac{4}{3} y_{\frac{1}{2}} + \frac{8}{3} y_{\frac{1}{4}} \right)$$



(b) Méthode d'ordre 5: $N = 3$

$$(\alpha_0, \alpha_1, \alpha_2, \beta_0, \beta_1, \beta_2) =$$

$$(-18, 9, 10, 9, 18, 3)$$

$$\hat{y}_1 = -18y_{\frac{2}{3}} + 9y_{\frac{1}{3}} + 10y_0 +$$

$$\frac{h}{3} W(9y_{\frac{2}{3}} + 18y_{\frac{1}{3}} + 3y_0)$$

- **Données:** Solutions $y_{\frac{t_j}{h}} = e^{t_j A} y_0$ en les temps $0 = t_0 < t_1 < \dots < t_N = h$
- **Méthode:**

$$\begin{aligned}\hat{y}_1 &= y_0 + W \sum_{j=0}^N \left(\int_0^h L_{j,N}(t) dt \right) y_{\frac{t_j}{h}} \\ &= y_0 + W \sum_{j=0}^N \left(\int_0^h L_{j,N}(t) dt \right) e^{t_j A} y_0\end{aligned}$$

$(L_{j,N})_{0 \leq j \leq N}$: Base de polynômes interpolateurs de Lagrange de $\mathbb{R}_N[X]$, interpolation de $t \mapsto We^{tA} y_0$ en t_0, \dots, t_N .

Proposition (Méthode Multi-pas à pas non constant - Ordre de convergence)

Si $A \in GL_d(\mathbb{R})$ (ce qui est le cas presque partout dans $\mathcal{M}_d(\mathbb{R})$), l'apprentissage pour cette méthode est d'ordre $N + 1$:

$$W_{Min} \underset{h \rightarrow 0}{=} A + \mathcal{O}(h^{N+1})$$

Preuve (idée): Étudier le minimiseur:

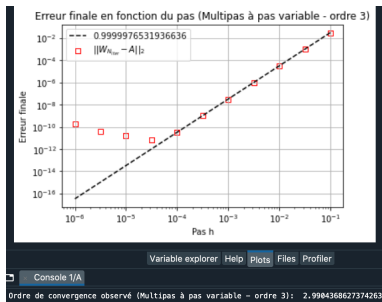
$$\begin{aligned} W_{Min} &= \left[\sum_{j=0}^N \left(\int_0^h L_{j,N}(t) dt \right) e^{t_j A} \right]^{-1} (e^{hA} - I_d) \\ &= \left[\int_0^h e^{tA} dt - \int_0^h e^{tA} - \left(\sum_{j=0}^N L_{j,N}(t) e^{t_j A} \right) dt \right]^{-1} (e^{hA} - I_d) \end{aligned}$$

en notant que le polynôme interpolateur approche $t \mapsto e^{tA}$

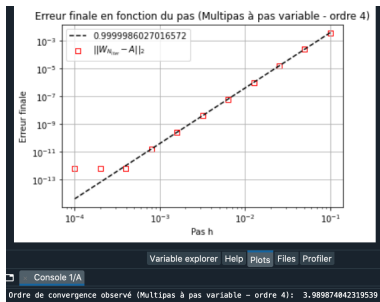


Méthodes multi-pas à pas non constant

Exemples



(a) Méthode d'ordre 3: $N = 2$
Solutions données en $0, \frac{h}{3}$ et h
Intégration numérique des $L_{j,2}(t)$ sur $[0, h]$



(b) Méthode d'ordre 4: $N = 3$
Solutions données en $0, \frac{h}{4}, \frac{h}{2}$ et h
Intégration numérique des $L_{j,3}(t)$ sur $[0, h]$

- Solutions $y_{\frac{t_j}{h}} = e^{t_j A} y_0$ en $0 = t_0 < \dots < t_N = h$ de $\dot{y} = Ay$.
- Méthode:
 - Vecteur prédit par le réseau de neurones:

$$\hat{y}_1 = \sum_{j=0}^N \alpha_j y_{\frac{t_j}{h}} + W \sum_{j=0}^N \beta_j h_j y_{\frac{t_j}{h}}$$

- Vecteur prédit par la méthode numérique:

$$\tilde{y}_1 = \sum_{j=0}^N \alpha_j y_{\frac{t_j}{h}} + A \sum_{j=0}^N \beta_j h_j y_{\frac{t_j}{h}}$$

Théorème (Ordre de convergence - Cas linéaire)

Si la méthode est d'ordre p , i.e.

$$\tilde{y}_1 - y_1 \underset{h \rightarrow 0}{=} \mathcal{O}(h^{p+1})$$

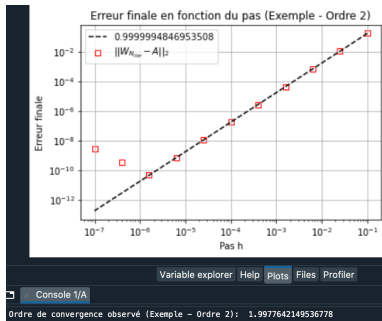
et si $\frac{1}{h} (\beta_0 h_0 + \dots + \beta_N h_N) \neq 0$, alors l'apprentissage est d'ordre p :

$$W_{Min} \underset{h \rightarrow 0}{=} A + \mathcal{O}(h^p)$$

Preuve (idée): Étudier le minimiseur en y_0 :

$$W_{Min} y_0 = A y_0 + \left(\sum_{j=0}^N \beta_j \frac{h_j}{h} e^{t_j A} \right)^{-1} \frac{1}{h} (y_1 - \tilde{y}_1)$$



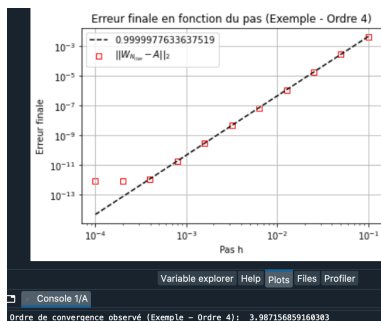


(a) Méthode d'ordre 2:

Solutions données en $0, \frac{h}{2}$ et h

$$\hat{y}_1 =$$

$$y_0 + \frac{h}{4} W \left(y_0 + 2y_{\frac{1}{2}} + y_1 \right)$$



(b) Méthode d'ordre 4:

Solutions données en

$0, \frac{h}{3}, \frac{2h}{3}$ et h

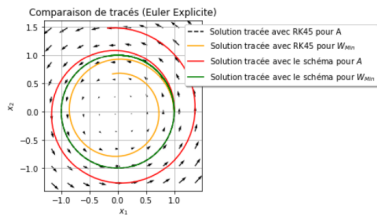
$$\hat{y}_1 = y_0 +$$

$$\frac{h}{8} W \left(y_0 + 3y_{\frac{1}{3}} + 3y_{\frac{2}{3}} + y_1 \right)$$

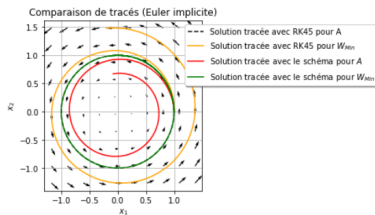
- Système différentiel:

$$\begin{bmatrix} \dot{x}_1 \\ \dot{x}_2 \end{bmatrix} = \begin{bmatrix} 0 & -1 \\ 1 & 0 \end{bmatrix} \begin{bmatrix} x_1 \\ x_2 \end{bmatrix}$$

- Pas de la méthode numérique: $h = 0.1$



- (a) Méthode d'Euler Explicite:
 $\hat{y}_1 = (I_d + hW)y_0$

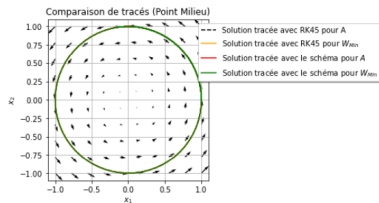


- (b) Méthode d'Euler Implicite:
 $\hat{y}_1 = y_0 + hWy_1$

- **Système différentiel:**

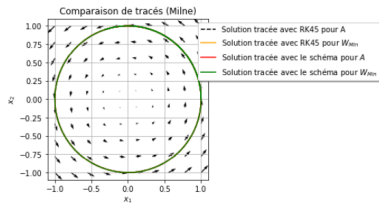
$$\begin{bmatrix} \dot{x}_1 \\ \dot{x}_2 \end{bmatrix} = \begin{bmatrix} 0 & -1 \\ 1 & 0 \end{bmatrix} \begin{bmatrix} x_1 \\ x_2 \end{bmatrix}$$

- **Pas de la méthode numérique: $h = 0.1$**



- (a) **Méthode du Point Milieu:**

$$\hat{y}_1 = y_0 + \frac{h}{2} W(y_0 + y_1)$$



- (b) **Méthode de Milne:**

$$\hat{y}_1 = y_0 + \frac{h}{4} W \left(\frac{8}{3} y_{3/4} - \frac{4}{3} y_{1/2} + \frac{8}{3} y_{1/4} \right)$$

Partie 4 : Cas non-linéaire

- **Équation:** $\dot{y} = f(y)$, $f \in \mathcal{C}^0(\mathbb{R}^d, \mathbb{R}^d)$, localement lipschitzien
- **Données:** Solutions $y_{\frac{t_j}{h}} = \Phi_{t_j}(y_0)$ (Φ : flot associé à l'EDO) en les temps $0 = t_0 < \dots < t_N = h$
- K données initiales, donnant K séries de données: pour tout $k \in \llbracket 0, K - 1 \rrbracket$
$$y_{\frac{t_j}{h}}^{(k)} = \Phi_{t_j} \left(y_0^{(k)} \right)$$

Théorème (Théorème d'universalité)

Soit $g \in \mathcal{C}(\mathbb{R}^d, \mathbb{R})$, soit $\sigma \in \mathcal{C}^0(\mathbb{R}, \mathbb{R}) \setminus \mathbb{R}[X]$. Alors, pour tout $\varepsilon > 0$, il existe $g_{app} \in \mathcal{M}_\sigma$ telle que, pour tout $\Omega \subset \mathbb{R}^d$ compact:

$$\|g - g_{app}\|_{L^\infty(\Omega)} \leq \varepsilon$$

avec:



$$\mathcal{M}_\sigma = \text{Vect} \left\{ x \mapsto \sigma(w \cdot x + b), w \in \mathbb{R}^d, b \in \mathbb{R} \right\}$$



$$\mathbb{R}[X] \simeq \{ \text{Fonctions polynomiales} \}$$

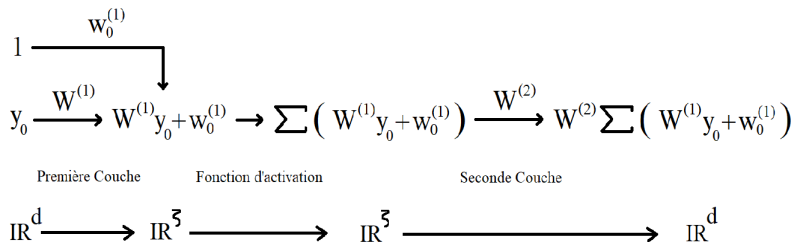


Figure: Structure du réseau de neurones pour le problème non-linéaire

$$f_{app}(y_0) = W^{(2)}\Sigma \left(W^{(1)}y_0 + w_0^{(1)} \right)$$

Première formulation:

- Vecteur prédit par le réseau de neurones:

$$\hat{y}_1 = \sum_{j=0}^N \alpha_j y_{\frac{t_j}{h}} + h \sum_{j=0}^N \beta_j \frac{h_j}{h} f_{app} \left(y_{\frac{t_j}{h}} \right)$$

- Vecteur prédit par la méthode numérique:

$$\tilde{y}_1 = \sum_{j=0}^N \alpha_j y_{\frac{t_j}{h}} + h \sum_{j=0}^N \beta_j \frac{h_j}{h} f \left(y_{\frac{t_j}{h}} \right)$$

- Minimiseur de la fonction *Loss*: $f_{app}^* \in C^0(\mathbb{R}^d, \mathbb{R}^d)$ tel que $L(f_{app}^*) = 0$

Théorème (Ordre de convergence dans le cas général - Première formulation)

Si la méthode est d'ordre p , i.e.

$$\tilde{y}_1 - y_1 \underset{h \rightarrow 0}{=} \mathcal{O}(h^{p+1})$$

et si $\frac{1}{h} (\beta_0 h_0 + \dots + \beta_N h_N) \neq 0$, alors l'apprentissage est d'ordre p :

$$f_{app}^*(y_0) \underset{h \rightarrow 0}{=} f(y_0) + \mathcal{O}(h^p)$$

Preuve (idée): Étudier le minimiseur en y_0 en montrant que:

$$f_{app}^*(y_0) \underset{h \rightarrow 0}{=} f(y_0) + \frac{1}{h \sum_{j=0}^N \beta_j \frac{h_j}{h}} (y_1 - \tilde{y}_1)$$



Nouvelle formulation:

- Vecteur prédit par le réseau de neurones:

$$\hat{y}_1 = \sum_{j=0}^N \alpha_j y_{\frac{t_j}{h}} + hf_{app} \left(\sum_{j=0}^N \beta_j \frac{h_j}{h} y_{\frac{t_j}{h}} \right)$$

- Vecteur prédit par la méthode numérique:

$$\tilde{y}_1 = \sum_{j=0}^N \alpha_j y_{\frac{t_j}{h}} + hf \left(\sum_{j=0}^N \beta_j \frac{h_j}{h} y_{\frac{t_j}{h}} \right)$$

- Minimiseur de la fonction *Loss*: $f_{app}^* \in C^0(\mathbb{R}^d, \mathbb{R}^d)$ tel que $L(f_{app}^*) = 0$

Théorème (Ordre de convergence dans le cas général - Nouvelle formulation)

Si la méthode est d'ordre p , i.e.

$$\tilde{y}_1 - y_1 \underset{h \rightarrow 0}{=} \mathcal{O}(h^{p+1})$$

et si $\frac{1}{h} (\beta_0 h_0 + \dots + \beta_N h_N) \neq 0$, alors l'apprentissage est d'ordre p :

$$f_{app}^*(y_0) \underset{h \rightarrow 0}{=} f(y_0) + \mathcal{O}(h^p)$$

Preuve (idée): Étudier le minimiseur en y_0 en montrant que:

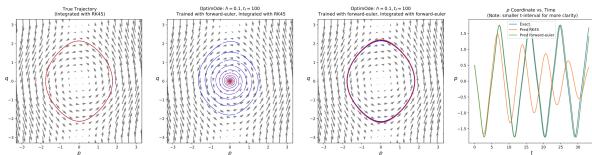
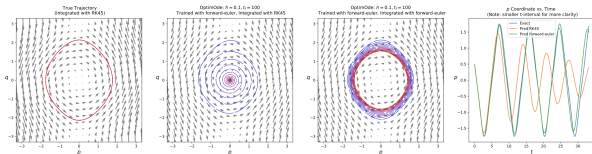
$$[f_{app}^* - f] \left(\sum_{j=0}^N \beta_j \frac{h_j}{h} y_{\frac{t_j}{h}} \right) = \frac{1}{h} (y_1 - \tilde{y}_1)$$



- Système différentiel:

$$\begin{cases} \dot{p} &= q \\ \dot{q} &= -\sin(p) \end{cases}$$

- Pas de la méthode numérique: $h = 0.1$



- **Système différentiel:**

$$\begin{cases} \dot{p} &= q \\ \dot{q} &= -\sin(p) \end{cases}$$

- **Pas de la méthode numérique: $h = 0.1$**

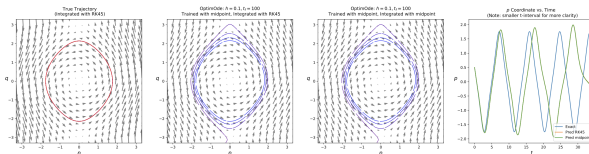


Figure: Méthode du Point Milieu, $\zeta = 20$ neurones

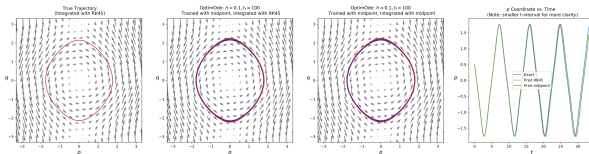


Figure: Méthode du Point Milieu, $\zeta = 200$ neurones

Merci pour votre attention !